

**ТЕРМИЧЕСКАЯ ГЕНЕРАЦИЯ НЕОСНОВНЫХ НОСИТЕЛЕЙ ЗАРЯДА
У ГРАНИЦЫ РАЗДЕЛА ПОЛУПРОВОДНИК-ДИЭЛЕКТРИК
ЧЕРЕЗ ГЛУБОКИЙ УРОВЕНЬ
В ПРИПОВЕРХНОСТНОМ СЛОЕ ОБЕДНЕНИЯ**

Е. И. Гольдман, А. Г. Ждан, А. М. Сумарока

Институт радиотехники и электроники Российской академии наук, 141120, Фрязино, Россия
(Получена 12.05.1992. Принята к печати 19.05.1992)

Рассчитаны временные и температурные зависимости высокочастотной емкости и тока разряда МДП структуры, связанные с термической генерацией неосновных носителей заряда через глубокий объемный уровень в процессе релаксации образца от состояния неравновесного обеднения к состоянию глубокой инверсии. Приняты во внимание набег потенциала на слое инверсии, пиннинг (закрепление) квазимуровки Ферми неосновных носителей заряда у поверхности полупроводника, определяющий ближайший к границе раздела край зоны генерации, а также вклад опустошения объемного уровня в изменение изгиба зон и ток разряда МДП структуры. Развиты методика экспериментов и алгоритмы обработки опытных данных, позволяющие идентифицировать эффекты генерации неосновных носителей заряда в релаксационных сигналах и определять характеристики центров генерации.

В термоактивационном режиме экспериментально исследована термическая генерация дырок в структурах металл—окисел—полупроводник на *n*-Si. На основании хорошего согласия между теорией и экспериментом сделан вывод, что центрами генерации являются глубокие доноры с энергией активации 0.79 ± 0.01 эВ, концентрация которых резко спадает в глубь полупроводника.

Релаксационная спектроскопия (РС) локализованных электронных состояний — эффективный инструмент физики поверхности раздела полупроводник-диэлектрик и технологического контроля широкой гаммы приборов МДП электроники [¹⁻³]. Методы РС успешно работают в отношении локализованных электронных состояний, скорость термического опустошения которых превышает скорость генерации неосновных носителей заряда (ННЗ).¹ В противоположном случае, в особенности при образовании канала инверсии, вкладом генерации ННЗ в процесс перезарядки локализованных состояний пренебрегать нельзя, и возникают принципиальные задачи идентификации и выделения сигналов РС, обусловленных появлением ННЗ, выяснения влияния ННЗ на кинетику опустошения локализованных состояний и определения характеристик центров генерации. Анализу этих проблем с учетом генерации ННЗ как через пограничные, так и через объемные локализованные электронные состояния, присущие в полупроводнике у границы его раздела с диэлектриком, посвящен ряд работ [⁴⁻⁹]. Из них, в частности, следует, что при прочих равных условиях темп генерации в первом случае существенно ниже, чем во втором,² т. е. в наиболее общей ситуации

¹ Для *n*-полупроводника это фактически локализованные электронные состояния, расположенные в верхней половине запрещенной зоны.

² Качественное различие этих процессов состоит в том, что при объемной генерации имеет место пространственное разделение рождающихся электронов и дырок электрическим полем слоя обеднения и генерация ННЗ через объемные уровни происходит в отсутствие равновесия между локализованными электронными состояниями и зоной ННЗ. Наоборот, при поверхностной генерации такое равновесие устанавливается. Поэтому энергия активации первого процесса увеличивается с ростом концентрации ННЗ и определяется расстоянием между квазимуровкой Ферми ННЗ и краем зоны основных носителей заряда на границе раздела, тогда как во втором процессе энергия активации постоянна и равна максимальному из расстояний между объемным уровнем и краями разрешенных зон. При возникновении инверсии практически всегда первая величина будет превосходить вторую.

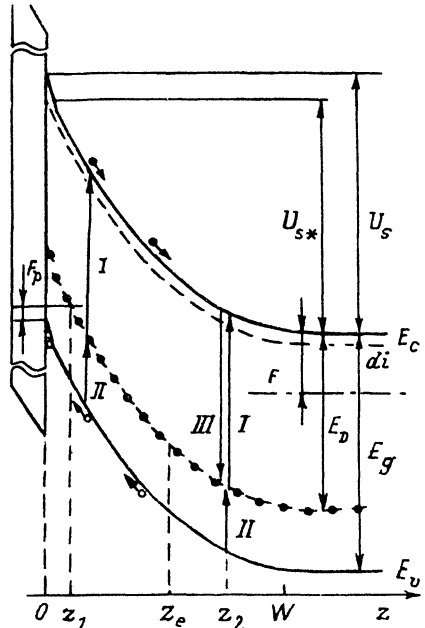


Рис. 1. Зонная диаграмма МДП структуры в состоянии неравновесного обеднения на стадии образования инверсионного канала. z_1 , z_2 — границы зоны генерации, z_e — ширина области пространственной локализации глубокого донора; di — мелкая легирующая примесь.

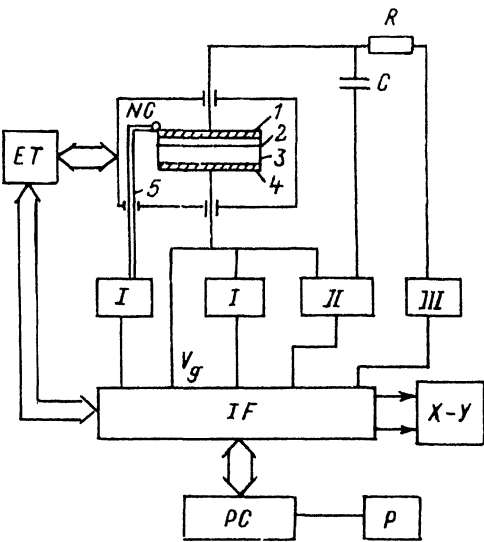


Рис. 2. Блок-схема измерительной установки: NC — криостат, $1-4$ — МДП структура; 5 — термопара; ET — электронный терморегулятор, I — электронные цифровые вольтметры Ц31, II — измеритель L , C , R цифровой Е7-12, III — вольтметр-электрометр универсальный В7-30, IF — универсальный интерфейс, $X-Y$ — прибор самопищащий двухкоординатный Н-307, PC — персональная ЭВМ «Электроника МС 0513», P — печатающее устройство. МДП структура: 1 — полевой электрод, 2 — SiO_2 , 3 — Si , 4 — Al .

сигналы РС должны определяться процессами генерации ННЗ через объемные электронные состояния. Постановка соответствующей экспериментальной задачи связана, однако, с определенными трудностями, связанными прежде всего с отсутствием адекватной теории явления, поскольку в известных подходах не учтен ряд важных факторов, которые должны существенно влиять на характеристики релаксационных сигналов. Например, не принимались во внимание набег потенциала на слое инверсии, пиннинг (закрепление) квазиуровня Ферми ННЗ у поверхности полупроводника, определяющий ближайший к границе раздела край зоны генерации, а также вклад перезарядки объемного уровня в изменение профиля потенциала области пространственного заряда (ОПЗ) полупроводника и во внешний ток.

В связи с этим с учетом указанных факторов (в данной последовательности) для изотермического и термоактивационного режимов релаксации неравновесного состояния МДП структуры рассчитываются релаксационные сигналы, обусловленные термической генерацией ННЗ через глубокий объемный уровень, временные и температурные зависимости высокочастотной емкости C_{HF} и протекающего во внешней цепи тока. Развиваются методика экспериментов и алгоритмы обработки экспериментальных данных, позволяющие идентифицировать составляющие сигналов РС, обусловленные генерацией ННЗ и опустошением объемного уровня, а также определять характеристики центров генерации. Результаты расчетов сопоставляются с экспериментом, выполненным на кремниевых структурах металл—окисел—полупроводник (МОП).

Рассмотрим для определенности электронный полупроводник, содержащий (помимо полностью ионизированной легирующей примеси с концентрацией N_d) глубокий донор с энергией ионизации $E_D > E_g/2$ ³ и концентрацией N_D (E_g — ширина запрещенной зоны). Зонная диаграмма МДП структуры в состоянии неравновесного обеднения приведена на рис. 1. В результате переходов (показаны вертикальными стрелками) электронов с глубокого донора в зону проводимости полупроводника (I) и из валентной зоны на освобождающиеся при этом на уровне места (II) в валентной зоне у границы раздела полупроводник—диэлектрик начнут накапливаться дырки, и во внешней цепи возникает ток, обусловленный уходом электронов на полевой электрод и изменением емкости МДП структуры вследствие сокращения ширины W ОПЗ полупроводника. Важно отметить, что глубокий донор при $z > z_1$ (рис. 1) остается предельно заполненным, поскольку вероятность перехода II гораздо больше вероятности перехода I (z_1 — координата пересечения глубокого донора с квазиуровнем Ферми для дырок); при $z < z_1$ имеет место квазивновесие между глубоким донором и валентной зоной. Если энергия Ферми дырок на поверхности $F_p < E_g - E_D$, то $z_1 = 0$.

Темп генерации дырок в этой ситуации определяется выражением

$$\frac{dp_s}{dt} = (z_2 - z_1) \frac{N_D}{\tau_c} \left[1 - \exp \frac{E_g - F_p - F - U_s}{T} \right]. \quad (1)$$

Здесь p_s — поверхностная («двумерная») концентрация дырок,

$$z_2 = W - \left(\frac{x_s}{2\pi q^2 N_d} \right)^{1/2} \left[E_g - F - E_D + T \ln \frac{\tau_{v0}}{\tau_{c0}} \right] \quad (2)$$

(при $z > z_2$ поток электронов из зоны проводимости на глубокий донор, стрелкой III на рис. 1, превышает поток II; фактическое заполнение глубоких доноров в данной области — результат баланса всех трех потоков); $\tau_c = \tau_{c0} \exp(E_D/T)$, $\tau_v = \tau_{v0} \exp(E_g - E_D/T)$ — времена жизни электронов и дырок на глубоком доноре соответственно; T — температура в энергетических ед.; $F = T \ln(N_c/N_d)$ — энергия Ферми в объеме полупроводника; N_c — эффективная плотность состояний в зоне проводимости; U_s — поверхностный изгиб зон; x_s — диэлектрическая проницаемость полупроводника; q — элементарный заряд. Соотношение (1) вытекает из уравнений Шокли—Рида. Сомножитель в квадратных скобках описывает переход к равновесию. Выражение для dp_s/dt без этого сомножителя получено в [4, 5].

Будем считать, что в процессе релаксации потенциал полевого электрода V_g поддерживается постоянным, ибо в другом распространенном варианте РС, когда $C_{HF} = \text{const}$ [7, 8], наблюдать переход от начального состояния к конечному (равновесному) состоянию глубокой инверсии невозможно.⁴ Тогда

$$qV_g = U_s + \frac{4\pi q^2 h}{x_i} (p_s + N_D z_1 + N_d W) = \frac{2\pi q^2 N_d W_0^2}{x_s} + \frac{4\pi q^2 N_d W_0 h}{x_i}, \quad (3)$$

³ При $E_D < E_g/2$ уровень сначала полностью опустошается, как и при обычной РС [3, 10, 11], и лишь потом становится центром генерации ННЗ. Эти процессы разделены по времени (или по температуре) [5].

⁴ Очевидно, что если стабилизируемое начальное значение C_{HF}^0 меньше, чем C_{HF}^{inv} , отвечающее конечному состоянию сильной инверсии, то при переходе к равновесию величина V_g , требующаяся для поддержания $C_{HF} = \text{const} = C_{HF}^0$, будет непрерывно увеличиваться вплоть до пробоя структуры.

где h — толщина диэлектрика, χ_s — его диэлектрическая проницаемость, W_0 — ширина ОПЗ полупроводника в момент времени $t = 0$. Второе равенство в (3) остается справедливым и при наличии в диэлектрике встроенного заряда:

$$U_s = U_{s*} + T \ln \left[\frac{\gamma p}{N_d U_{s*}/T + N_D \ln (N_D/p_1)} + 1 \right], \quad (4)$$

$$U_{s*} = \frac{2\pi q^2}{\chi_s} (N_D z_1^2 + N_d W^2),$$

где U_{s*} — изгиб зон в полупроводнике в пренебрежении набегом потенциала на слое инверсии; $\gamma = \text{const}$; p — «трехмерная» концентрация дырок при $z = 0$; $p_1 = N_v \exp [(E_z - E_g)/T]$ — концентрация дырок при $z = z_1$; N_v — эффективная плотность состояний в валентной зоне. Соотношение (4) является эмпирической аппроксимацией выражаемого в квадратурах решения уравнения Пуассона. Можно убедиться в том, что (4) при $p \gg$ (или \ll) $N_d (V_{s*}/T) + N_D \ln (N_D/p_1)$ переходит в асимптотические формулы для U_s , получаемые из квадратур разложением по малому параметру. При $\gamma = 0.1$ — 0.4 (4) соответствует точному решению вплоть до вырождения дырочного газа с погрешностью, не превышающей 1.7%.

Из первого интеграла уравнения Пуассона вытекает, что

$$p + (N_D + N_d) \ln \left(\frac{p}{p_1} + 1 \right) = \frac{2\pi q^2}{\chi_s T} [(p_s + N_D z_1 + N_d W)^2 - N_d^2 (W - z_1)^2]. \quad (5)$$

По определению величины z_1 имеем

$$\frac{2\pi q^2 (W - z_1)^2 N_d}{\chi_s} + T \ln \left(\frac{p}{p_1} + 1 \right) = U_s. \quad (6)$$

Первое слагаемое в (6) — набег потенциала на слое (z_1, W) , а второе — разность потенциалов ΔU_s между поверхностью полупроводника и плоскостью $z = z_1$. Это слагаемое хорошо аппроксимирует более строгое соотношение

$$\Delta U_s = \begin{cases} T \ln (p/p_1) & \text{при } p > p_1, \\ 0 & \text{при } p < p_1. \end{cases}$$

Из (4) и (6) находим в явном виде

$$z_1 = \frac{1}{N_d - N_s} \left\{ -N_d W + \left[N_d^2 W^2 + \frac{\chi_s T}{2\pi q^2} (N_D - N_d) \ln \times \right. \right. \\ \times \left. \left. \left(\frac{(p/p_1 + 1)}{N_d U_{s*} + N_D \ln (N_D/p_1) + 1} \right) \right]^{1/2} \right\}. \quad (7)$$

Полагая $p = p_1 \exp [U_s + F - E_g]/T]$, из (4)—(6) получаем соотношение, связывающее ширину ОПЗ W_0 в равновесии с концентрацией глубоких доноров N_D :

$$W_\infty = \left(\frac{\kappa_s T}{2\pi q^2 N_d} \right)^{1/2} \left(\frac{N_D}{N_D + N_d} \right) \left[\left(\frac{E_D - F}{T} \right)^{1/2} + \left\{ \frac{(N_D + N_d) N_d}{N_D^2} \times \right. \right. \\ \times \ln \left[\frac{N_d \left[\frac{N_d E_g}{T} + N_D \ln \left(\frac{N_d}{p_1} \right) \right] \exp(E_g/T)}{\gamma N_c N_v} - \frac{N_d}{N_D} \left(\frac{E_D - F}{T} \right) \right]^{1/2} \left. \right]. \quad (8)$$

Таким образом, система уравнений (1)–(5), (7) описывает вплоть до равновесия релаксацию МДП структуры (включая образование канала инверсии) при генерации ННЗ через глубокий объемный уровень. В результате ее решения могут быть рассчитаны временные и температурные зависимости суммарного тока генерации дырок и перезарядки глубоких доноров:

$$I_s = qA \left(\frac{dp_s}{dt} + N_D \frac{dz_1}{dt} \right), \quad (9)$$

а также ширины ОПЗ W (A – площадь МДП структуры).

Непосредственно можно измерять только полный ток разряда МДП конденсатора I и емкость C_{HF} . Связь между C_{HF} , W и I , I_s определяется соотношениями

$$\frac{1}{C_{HF}} = \frac{1}{C_i} + \frac{4\pi W}{\kappa_s A}, \quad (10)$$

$$I_s = I - \frac{q\kappa_s N_d A^2}{4\pi} \frac{d}{dt} \left(\frac{1}{C_{HF}} \right), \quad (11)$$

где C_i – емкость диэлектрического промежутка МДП структуры. Второе слагаемое в (11) – ток, обусловленный изменением в процессе релаксации ширины ОПЗ полупроводника [12]. Следовательно, на опыте принципиально необходимы синхронные измерения зависимостей $I(t)$ и $C_{HF}(t)$.

На рис. 2 приведена блок-схема автоматизированной на базе персональной ЭВМ «Электроника МС 0513» установки, позволяющей регистрировать обе зависимости в режиме термостимулированной релаксации при нагреве образца с постоянной скоростью $\beta = dT/dt = \text{const.}^5$. Эксперименты выполнялись на МОП структурах, полученных по стандартной промышленной технологии окислением $n\text{-Si}$, КЭФ-4.5,⁶ ориентации (100) при 850 °C в присутствии HCl. Толщина окисла $h = 50$ нм, площадь полевого электрода $A = 5.6 \cdot 10^{-3}$ см². Исследуемый образец размещался в вакуумной камере газопроточного азотного криостата NC с электронным терморегулятором ET [13, 14]. Температура объекта, определявшаяся с помощью микротермопары медь-константан 5, одновременно являющейся датчиком системы регулирования, в интервале 80–350 К составляла 0.17 град/с и поддерживалась постоянной в пределах $\pm 3\%$. RC -фильтр ($R = 10^9$ Ом, $C = 436$ пФ) обеспечивал развязку по переменному сигналу цепей измерения разрядного тока (B7-30) и малосигнальной ВЧ емкости (E7-12). Универсальный интерфейс IF [15] выполнял функции согласования ЭВМ со всеми измерительными приборами, исполнительными устройствами и системами ввода–вывода. Начальная температура опыта $T_0 \approx 80$ К. Стартовое состояние МДП структуры – глубокое обогащение. Изменением V_g структура переводится в долгоживущее состояние неравновесного обеднения, релаксация которого при заданном $V_g = \text{const}$

⁵ Теоретическое описание этого режима требует замены всех производных по времени, фигурирующих в уравнениях, на производные по температуре $(d/dt) \rightarrow \beta (d/dT)$.

⁶ Концентрация легирующей примеси N_d найденная по низкотемпературным измерениям высокочастотных вольт-фарадовых характеристик, составляет $6.7 \cdot 10^{14}$ см⁻³.

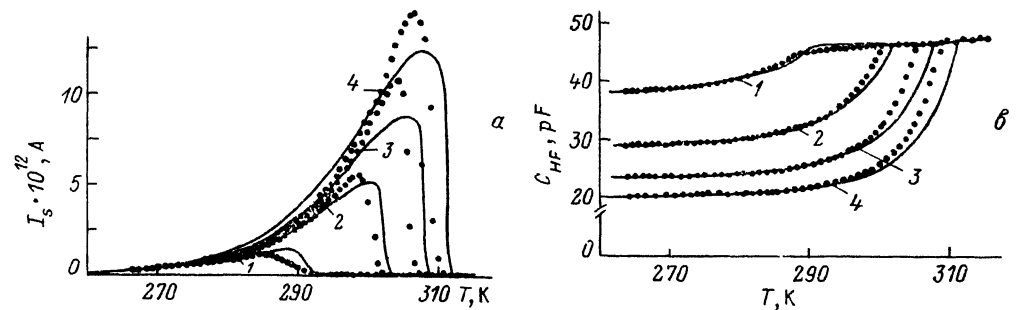


Рис. 3. Температурные зависимости «очищенного» тока I_s (а) и высокочастотной емкости C_{HF} (б). Точки — эксперимент; напряжение начального обеднения V_g , В: 1 — (-1.6), 2 — (-3), 3 — (-4), 4 — (-5). Сплошные кривые — численный расчет по уравнениям (1)–(5), (7), (9), (10) с $\gamma = 0.4$ и с найденными по рис. 4 и по квазивновесным значениям емкости C_{HF}^{qV} параметрами глубокого донора: $E_D = 0.79$ эВ; $\tau_{c0} = (3.6 \pm 4.8) \cdot 10^{-12}$ с; $N_D = 6.5 \cdot 10^{15}$ см⁻³.

стимулируется нагревом. В процессе нагрева регистрируются β , T и температурные зависимости I и C_{HF} как функции от степени начального обеднения, т. е. от величины V_g . На рис. 3 приведены результаты типичной серии экспериментов. «Очищенный» согласно (11) ток $I_s(T)$ для каждого из V_g описывает характерный пик, правый склон которого существенно круче левого. Температура T_m максимума тока и его амплитуда возрастают с увеличением $|V_g|$. Для всех кривых $I_s(T)$ на начальных участках нарастания тока ($T < T_q$) хорошо выполняется закон Аррениуса $\lg I_s \sim T^{-1}$ с единой энергией активации $E = (0.79 \pm 0.01)$ эВ (рис. 4). Монотонно возрастающая зависимость $C_{HF}(T)$ после резкого излома в окрестности $T \approx T_m$ переходит в единую для всех кривых прямую линию. Эти закономерности отвечают представлениям о генерации ННЗ [4–6, 9] и более того позволяют заключить, что центром генерации является глубокий объемный уровень, поскольку при поверхностной генерации энергия активации должна возрастать с ростом концентрации дырок и при глубокой инверсии достигать величины $\approx E_g$, заметно превышающей экспериментальную (см. сноску ²). Энергию активации уровня E_D , отсчитываемую от дна зоны проводимости, следует отождествить с E , так как в противном случае ($E_D \neq E_g - E$) на кривой $I_s(T)$ должен будет наблюдаться некий пик тока, обусловленный опустошением этого мелкого уровня [5].

На начальной стадии процесса генерации $z_1 = 0$ и согласно (1), (9)

$$I_s = q\beta A \frac{dp_s}{dT} = q\beta A z_2 \frac{N_D}{\tau_{c0}} \exp\left(-\frac{E_D}{T}\right), \quad (12)$$

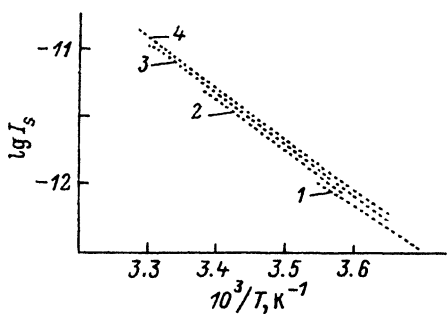


Рис. 4. Экспериментальные зависимости $I_s(T)$ в координатах Аррениуса. V_g , В: 1 — (-1.6), 2 — (-3), 3 — (-4), 4 — (-5).

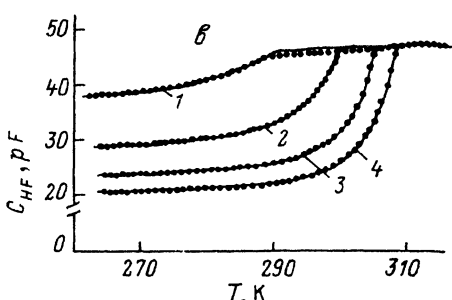
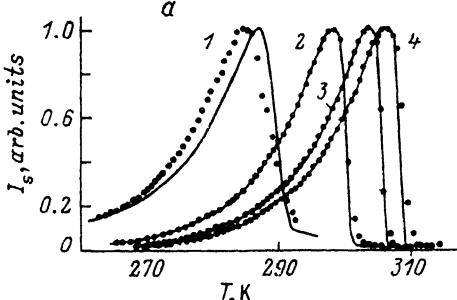


Рис. 5. Температурные зависимости I_s (а) и C_{HF} (б). Точки — эксперимент, сплошные линии — расчет, учитывающий ступенчатое пространственное распределение глубоких доноров. V_g , В: 1 — (-1.6), 2 — (-3), 3 — (-4), 4 — (-5). Параметры расчета: $E_D = 0.79$ эВ; $\tau_{co} = 3.1 \cdot 10^{-12}$ с; z_e мкм: 1.02 ($V_g = -1.6$, 3 В), 1.1 ($V_g = 4$ В), 1.27 ($V_g = -5$ В).

т. е. прямые Аррениуса должны отсекать на оси $T^{-1}=0$ величину $\lg(q\beta A \times z_2 N_D / \tau_{co})$, позволяющую определить отношение N_D / τ_{co} . При этом z_2 вычисляется по (2) в пренебрежении последним слагаемым в квадратных скобках со стартовыми значениями $W = W_0$, которые находятся из (10). Концентрация глубоких доноров N_D определяет участок прямой $C_{HF} — T$ (рис. 3, б), следующий за изломом и отвечающий квазиравновесному состоянию МДП структуры [соотношения (8) и (10)].

Выполнив вычисления для каждого из V_g (рис. 3, 4) с использованием ранее приведенных характеристик МДП структуры, находим $N_D = 6.5 \cdot 10^{15}$ см⁻³ и $\tau_{co} = 4.0 \cdot 10^{-12}$ с. Рассчитанные численно по уравнениям (1)–(5), (7), (9), (10) с $\gamma = 0.4$ и с найденными значениями параметров глубокого донора ⁷ E_D , N_D и τ_{co} зависимости $I_s(T)$ и $C_{HF}(T)$ приведены на рис. 3 сплошными линиями. Видно, что в целом с помощью теории неплохо описывается вся совокупность экспериментальных данных. Согласие несколько нарушается вблизи максимумов тока, где экспериментальные кривые идут круче теоретических. Это расхождение естественно объясняется, если предположить, что в эксперименте граница зоны генерации z_2 слабо сдвигается при уменьшении W вплоть до $T = T_w$. Такая ситуация будет иметь место, если распределение глубоких доноров по координате неоднородно: N_D спадает в глубь полупроводника. Представим для простоты распределения $N_D(z)$ в форме ступеньки, круто обрывающейся при $z = z_e$; величина z_e должна быть меньше величины z_2 , отвечающей W_0 . Тогда в формулах (1) и (12) z_2 следует заменить на z_e при $z_2 > z_e$. Полагая z_e и τ_{co} свободными параметрами, осуществим подгонку теории под экспериментальные кривые $I_s(T)$, $C_{HF}(T)$. Кривые $I_s(T)$, нормированные для наглядности на амплитуду максимума, вместе с зависимостями $C_{HF}(T)$ показаны на рис. 5. Наблюдаются полное согласие теории и эксперимента для всех кривых с $|z_2|_{W-W_0} > z_e$ при $\tau_{co} = \text{const} = 3.1 \cdot 10^{-12}$ с и практически неизменных значениях $z_e = 1.02 \pm 1.27$ мкм, что свидетельствует о резком спаде концентрации глубоких доноров в глубь полупроводника. Расхождение, как и следовало ожидать, наблюдается только тогда, когда начальное значение $z_2 = 1$ мкм $\approx z_e$ (рис. 5, $V_g = -1.6$ В) попадает в область края ступеньки $N_D(z)$.

На рис. 6 показана принципиальная роль указанных ранее факторов в теории термической генерации ННЗ: видно, что без их учета нельзя адекватно описать ни форму кривых генерации, ни величины параметров. С другой стороны, учет в теории эффектов перезарядки объемного уровня позволяет, используя (9), выделить соответствующую компоненту тока. Как яствует из рис. 6 (кривая 5),

⁷ Эти параметры характерны для термодоноров в кремниевых МОП структурах [16].

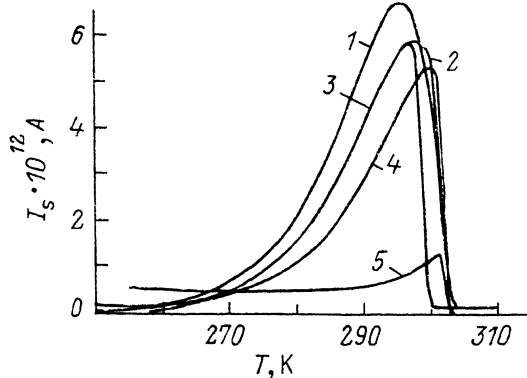


Рис. 6. Влияние на пик термической генерации неосновных носителей заряда в $I_s(T)$ отдельных физических факторов: реальной ширины зоны генерации $z_2 - z_1$ (в теории [3] в качестве ширины зоны генерации фигурировал размер области пространственного заряда $W > z_2 - z_1$) (а); обращения в нуль темпа генерации ННЗ в равновесии [см. (1)] (б); набега потенциала на слое инверсии, приводящего, в частности, к пиннингу квазиуровня Ферми для дырок на поверхности полупроводника (в); ионизации глубокого донора, обусловливающей появление дополнительной компоненты разрядного тока и изменение профиля потенциала в области объемного заряда полупроводника (г). 1 — расчет без учета факторов (а)–(г) (теория Симмонса [1]); 2 — учтены факторы (а), (б); 3 — учтены факторы (а)–(в); 4 — учтены все факторы (а)–(г). 5 — составляющая тока, связанная с опустошением глубокого донора (масштаб тока для этой кривой увеличен в 5 раз). Параметры расчета: $V_g = -3$ В, $E_D = 0.79$ эВ, $\tau_{co} = 4.3 \cdot 10^{-12}$ с, $N_D = 6.5 \cdot 10^{15}$ см $^{-3}$. Прочие параметры МДП структуры отвечают параметрам экспериментальных образцов.

кинетика термостимулированного опустошения глубоких доноров в условиях генерации ННЗ существенно отличается от общезвестной: вместо характерного пика тока наблюдается широкое плато, которое ошибочно можно приписать пограничным состояниям с непрерывным распределением по энергии.

В рассмотренном варианте, строго говоря, с помощью теории описывается генерация ННЗ только через достаточно глубокий объемный уровень ($E_D > E_g/2$). Однако эту теорию нетрудно распространить и на случай $E_D < E_g/2$, осуществив достаточно очевидные физически замены в исходной системе уравнений.

Реализованный подход к изучению процессов генерации ННЗ на стадиях глубокой инверсии предпочтителен из-за того, что вследствие экранирования свободными носителями заряда практически могут быть исключены из рассмотрения эффекты электрической неоднородности границы раздела, играющие важную роль на начальных этапах генерации ННЗ и в условиях слабой инверсии [7, 8]. Это позволяет ставить задачу о пространственном распределении глубоких уровней, расположенных у зоны ННЗ вдали от границы раздела полупроводник—диэлектрик, где такие уровни в принципе невозможно перезарядить изменением поверхностного изгиба зон, а значит, и исследовать традиционными методами. Перспективы решения этой задачи вытекают из чувствительности наблюдавшихся релаксационных сигналов к пространственному распределению глубокого донора.

Авторы признательны С. Г. Дмитриеву и Ю. В. Маркину за ценные дискуссии.

СПИСОК ЛИТЕРАТУРЫ

- [1] В. Н. Вертопрахов, Е. Г. Сальман. Термостимулированные токи в неорганических веществах. Новосибирск (1979).
- [2] N. M. Johnson. J. Vac. Sci. Techn., 21, 303 (1982).
- [3] E. I. Goldman, A. G. Zhdan. Semicond. Sci. Techn., 5, 675 (1990).
- [4] P. U. Calzolari, S. Graffi, C. Morandi. Sol. St. Electron., 17, 1001 (1974).
- [5] J. G. Simmons, H. A. Mar. Phys. Rev. B, 8, 3865 (1973).
- [6] H. A. Mar, J. G. Simmons. Phys. Rev. B, 11, 775 (1975).
- [7] А. А. Лебедев, В. Экке, В. С. Юферев. ФТП, 19, 1791 (1985).

- [8] А. А. Лебедев, В. Экке. ФТП, 19, 1971 (1985).
- [9] D. Vuillaume, M. Lannoo, J. C. Bourgoin, E. Rosenthaler. J. Appl. Phys., 66, 5920 (1989).
- [10] В. И. Антоненко, А. Г. Ждан, А. И. Минченко, П. С. Сульженко. ФТП, 20, 208 (1986).
- [11] В. И. Антоненко, А. Г. Ждан, П. С. Сульженко. ФТП, 22, 758 (1988).
- [12] Е. И. Гольдман. ФТП, 26, 766 (1992).
- [13] В. И. Бугаев, А. С. Веденеев, А. Г. Ждан, А. М. Клочкова, Р. В. Панченко. ПТЭ, 250 (1986).
- [14] А. С. Веденеев, А. Г. Ждан, А. М. Клочкова, Ю. В. Маркин, А. В. Митрохин, А. Н. Пономарев. ПТЭ, 242 (1991).
- [15] А. Л. Александров, Е. М. Базарный, И. Б. Гуляев, А. Г. Ждан, А. М. Клочкова, Н. А. Смирнова. ПТЭ, 198 (1983).
- [16] В. В. Ткачёв, А. Ф. Макаренко, В. Г. Маркевич, Л. И. Мурина. ФТП, 18, 526 (1984).

Редактор Л. В. Шаронова
